

بِنَامِ خُدَا



دانشگاه صنعتی امیر کبیر (پلی تکنیک تهران)

دانشکده مهندسی شیمی

رساله دکتری

بررسی و مدل سازی سینتیکی اثر کاتالیستی اکسید روی بر احیای ترکیبات
معدنی با متان

نگارنده:

رضا علیزاده

استاد راهنما:

دکتر اسماعیل جمشیدی

استاد مشاور:

دکتر حبیب آل ابراهیم

بهار ۱۳۸۷

بسمه تعالی

: شماره

: تاریخ

فرم اطلاعات پایان نامه
کارشناسی ارشد و دکترا

معاونت پژوهشی

فرم پروژه تحصیلات تکمیلی ۷

معادل

بورسیه

دانشجوی آزاد

نام و نام خانوادگی: رضا علیزاده

دانشکده: مهندسی شیمی رشته تحصیلی: مهندسی شیمی

شماره دانشجویی: ۸۱۲۲۲۹۸۷

نام و نام خانوادگی استاد راهنما: آقای دکتر اسماعیل جمشیدی

عنوان به فارسی: مدل سازی و بررسی سینتیک اثر کاتالیستی اکسید روی بر احیای ترکیبات معدنی با متان

عنوان به انگلیسی: Modeling and kinetic study of the catalytic effect of zinc oxide on the reduction of inorganic compounds with methane

نظری

توسعه ای

بنیادی

کاربردی

نوع پژوهش:

تعداد واحد: ۲۴

تاریخ خاتمه: ۸۷/۰۱/۱۷

تاریخ شروع: ۸۴/۱۱/۱۲

سازمان تأمین کننده اعتبار:

واژه های کلید به فارسی: مدل سازی، سینتیک، کاتالیست، مواد معدنی، متان

واژه های کلیدی به انگلیسی: Modeling, Kinetic, Catalyst, Inorganic compound, Methane

نظرها و پیشنهادها به منظور بهبود فعالیت های پژوهشی دانشگاه:

استاد راهنما: 

دانشجو: حمایت مالی دانشگاه از رساله های که حمایت کننده مالی خارج دانشگاه ندارند می تواند در انجام و نتیجه بخش بودن چنین رساله هایی موثر واقع گردد.

امضاء استاد راهنما: تاریخ:

نسخه ۱: معاونت پژوهشی

نسخه ۲: کتابخانه و به انضمام دو جلد پایان نامه به منظور تسويه حساب با کتابخانه و مرکز استاد و مدارک علمی

تقدیم به روح پاک پدرم

مهر

بیپایان مادرم

حمایت‌بی‌دربیخ خانواده‌ام

تشکر و قدردانی

بدینوسیله از کلیه کسانی که به نحوی در به ثمر رسیدن این پژوهه سهیم بوده‌اند تشکر و قدردانی می‌شود به خصوص آقای پروفسور جمشیدی که همواره راهنمائی‌های ایشان راهگشای مسائل انجام این پژوهه بودند.

همچنین از خدمات آقای دکتر آل ابراهیم بخاطر راهنمائی‌های ارزنده ایشان در انجام کلیه مراحل این رساله و همچنین در آموزش دستگاه TG و کلیه کمکهای مؤثرشان در خصوص این رساله قدردانی می‌شود.

همچنین از دانشکده *NewSouth Wales* Materials Science and engineering استرالیا که امکانات لازم جهت انجام آزمایشات مربوط به احیای دی‌اکسید تیتانیم را مهیا ساختند سپاس و قدردانی می‌شود، خصوصاً جناب آقای پروفسور *Oleg Ostrovski* رئیس دانشکده مهندسی علم مواد دانشگاه *NewSouth Wales*، به خاطر کلیه کمک‌ها و حمایت مالی از پژوهه در دانشگاه *NewSouth Wales*، جناب آقای دکتر *G.Zhang* سرپرست گروه تحقیقاتی تیتانیم، بخاطر راهنمائی‌های ارزنده ایشان و کلیه کمکهای مؤثرشان در خصوص این رساله قدردانی می‌شود. همچنین لازم است مراتب قدردانی و سپاس خود را از جناب آقای دکتر *S.Rezan* داشته باشم که در واقع بدون کمک ایشان انجام این قسمت از رساله امکان پذیر نبود.

همچنین از خدمات کلیه دوستان عزیزم که مرا در انجام این رساله یاری دادند خصوصاً آقای دکتر هاشمی‌پور و آقای مهندس منظمی و دوستان عزیزم در دوره دکتری آقای رئیسی، آقای افصحی، آقای قجاوند و آقای افشار ابراهیمی تشکر و قدردانی می‌نمایم.

و در پایان از خدمات بی‌دریغ خانواده عزیزم که همواره در کلیه مراحل تحصیل، مشوق و پشتیبانم بوده‌اند تشکر و قدردانی می‌نمایم.

فهرست مطالب

صفحه	عنوان	
۱	چکیده (فارسی)	
۲	مقدمه	
۸	فصل ۱	
۹	مقدمه ای بر مدل سازی واکنش های گاز - جامد غیر کاتالیستی	
۱۱	۱-۱	مدل های واکنش های گاز - جامد
۱۶	۲-۱	مدل قرص - ذره و یا مدل دانه ای
۱۷	۳-۱	مدل سازی ریاضی مدل دانه ای
۱۷	۱-۳-۱	معادلات حاکم
۱۷	۱-۱-۳-۱	معادلات بقاء جرم و انرژی
۲۰	۲-۱-۳-۱	معادلات کمکی
۲۱	۳-۱-۳-۱	معادله بیان کننده سرعت واکنش
۲۲	۴-۱-۳-۱	معادلات مربوط به پارامترهای دیگر
۲۴	فصل ۲	
۲۵	۱-۲	احیای سولفات باریم با متان و بررسی اثر کاتالیستی اکسید روی
۳۰	۲-۲	مقدمه
۳۱	۳-۲	احیای سولفات باریم با گاز متان
۳۲	۴-۲	مطالعات ترمودینامیکی
۳۳	۵-۲	اهداف احیای سولفات باریم با متان
۳۵	۶-۲	بررسی های آزمایشگاهی
۳۹	۷-۲	سیستم آزمایشگاهی مورد استفاده
۴۱	۸-۲	مواد اولیه مصرفی و ساخت قرصها
۴۲	۱-۸-۲	تعیین منحنی درصد تبدیل - زمان از نتایج آزمایشها
۴۲	۲-۸-۲	نتایج آزمایش های سیستیکی احیاء سولفات باریم
۴۴		آزمایش های مقدماتی
		آزمایش های سیستیکی

۴۹	مدلسازی واکنش احیای سولفات باریم با متان	۹-۲
۴۹	انتخاب و توسعه مدل	۱-۹-۲
۵۱	تعیین تابعیت غلظتی واکنش	۲-۹-۲
۵۲	تعیین ضریب نفوذ موثر متان (D_{eA}) در داخل قرص	۳-۹-۲
۵۴	محاسبه ثابت سرعت واکنش از شیب اولیه منحنی درصد تبدیل - زمان	۴-۹-۲
۵۹	محاسبه کل منحنی درصد تبدیل	۱۰-۲
۶۲	نتیجه‌گیری	۱۱-۲
۶۳	بررسی سیتیک احیای سولفات استرونسیم(سلستیت) با گاز متان	فصل ۳
۶۴	مقدمه	
۶۷	مطالعات ترمودینامیکی	۱-۳
۶۷	اهداف احیای سولفات استرونسیم با متان	۲-۳
۶۸	مواد اولیه مصرفی و ساخت قرصها	۳-۳
۶۸	نتایج آزمایش‌های تعیین محصولات گازی واکنش	۴-۳
۷۰	تعیین سیتیک واکنش با استفاده از آزمایش‌های سیتیکی	۵-۳
۷۳	پیش‌بینی کل منحنی درصد تبدیل زمان	۶-۳
۷۶	نتیجه‌گیری	۷-۳
۷۷	بررسی سیتیک احیای اکسید نیکل با گاز متان	فصل ۴
۷۸	مقدمه	
۷۹	عملیات استخراج از معادن سولفیدی	۱-۴
۷۹	فرآیندهای پیرومتوالورژیکی	۱-۱-۴
۸۰	فرآیند هیدرومتوالورژی	۲-۱-۴
۸۰	عملیات استخراج از معادن اکسیدی (Lateritic ores)	۲-۴
۸۰	فرآیند پیرومتوالورژیکی	۱-۲-۴
۸۱	فرآیند هیدرومتوالورژیکی	۲-۲-۴
۸۱	مروری بر تحقیقات انجام شده جهت احیای اکسید نیکل	۳-۴
۸۳	مطالعات ترمودینامیکی	۴-۴
۸۴	واکنش اکسید نیکل با گاز متان	۵-۴
۸۴	آزمایش‌ها	۱-۵-۴
۸۶	نتایج آزمایش‌های سیتیکی	۲-۵-۴

۸۸	مدلسازی واکنش	۶-۴
۸۸	تابعیت غلظتی واکنش	۱-۶-۴
۹۰	بررسی سیستمیک واکنش	۲-۶-۴
۹۴	پیش‌بینی منحنی درصد تبدیل	۷-۴
۹۸	نتیجه‌گیری	۸-۴
۹۹	احیاء و نیتریداسیون همزمان دی اکسیدتیتانیم(رُتیل) با گازهای متان-هیدروژن-نیتروژن	فصل ۵
۱۰۰	مقدمه	
۱۰۲	مطالعات ترمودینامیکی	۱-۵
۱۰۴	سیستم آزمایشگاهی مورد استفاده برای احیای رُتیل	۴-۵
۱۰۹	روش انجام آزمایش	۳-۵
۱۱۰	آنالیز LECO	۱-۳-۵
۱۱۱	آنالیز XRD	۲-۳-۵
۱۱۱	تعیین درصد تبدیل از نتایج آنالیز گازی و آنالیز محصول (LECO)	۴-۵
۱۱۱	محاسبه میزان احیاء با استفاده از آنالیز گازهای خروجی	۱-۴-۵
۱۱۱	محاسبه میزان احیاء بر اساس مقدار کربن، اکسیژن و نیتروژن نمونه	۲-۴-۵
۱۱۲	نتایج آزمایشها	۵-۵
۱۲۸	مدلسازی واکنشهای احیاء	۶-۵
۱۲۹	محاسبه ثابت سرعت واکنش از شیب اولیه منحنی درصد تبدیل-زمان	۱-۶-۵
۱۳۲	پیش‌بینی کل منحنی درصد تبدیل زمان برای قرصهای کروی	۲-۶-۵
۱۳۷	نتیجه‌گیری	۷-۵
۱۳۸	نتیجه‌گیری	فصل ۶
۱۴۱	فهرست علائم	
۱۴۶	مراجع	
۱۵۶	ضمیمه یک	
۱۵۷	چکیده	

(انگلیسی)

فهرست جداول

صفحه	عنوان	شماره جدول
۵	دماه شروع و اکنش احیای اکسیدهای فلزی با متان و کربن	جدول ۱
۲۵	تولید معادن باریت در سال ۲۰۰۰ و ۲۰۰۱ و میزان معادن آن در جهان بر حسب هزار تن	۱-۲
۲۶	میزان مصرف باریت، برای مصارف عمده این کانه در سال ۱۹۹۸	۲-۲
۳۲	ثابت‌های تعادلی احیاء سولفات باریم با احیاء کننده‌های مختلف	۳-۲
۵۸	ثابت‌های سرعت واکنش $k(cm/sec)$ احیای سولفات باریم با متان در دماهای مختلف و شرایط غیرکاتالیستی و کاتالیستی (ضرب در یک میلیون)	جدول ۴-۲
۶۴	میزان تولید استرونسیم در جهان در طی سالهای ۱۹۹۷-۲۰۰۴ (بر حسب تن)	۱-۳
۶۷	ثابت‌های تعادلی احیاء سولفات استرونسیم با احیاء کننده‌های مختلف	۲-۳
۷۲	ثابت‌های سرعت احیای سلسیت با متان در دماهای مختلف	۳-۳
۷۶	- نتایج محاسبات D_{AP} و D_{eA} برای قرص‌های صفحه‌ای سلسیت	جدول ۴-۳
۷۹	معرفی مواد معدنی حاوی نیکل	۱-۴
۸۴	ثابت‌های تعادلی احیاء اکسید نیکل با متان و کربن	۲-۴
۹۱	ثابت‌های سرعت احیای اکسید نیکل با متان در دماهای مختلف	۳-۴
۹۳	زمانهای شروع و اکنش احیای اکسید نیکل با متان در دماهای مختلف	۴-۴
۹۵	مدت زمان نیمه عمر واقعی و مدل و ثابت‌های سرعت در دماهای مختلف با استفاده از معادلات Prout Tompkins	۵-۴
۱۰۳	ثابت‌های تعادلی واکنش‌های احیا رتیل با هیدروژن، کربن و متان	۱-۵
۱۰۳	ثابت‌های تعادلی واکنش‌های شماره (۶-۵)، (۷-۵)، (۸-۵) و (۹-۵) در محدوده دمایی ۱۱۰۰ تا ۱۵۰۰ K	۲-۵
۱۱۴	میزان احیاء نهایی رتیل با درصدهای مختلف گاز متان همچنین درصدهای نهایی کربن، اکسیژن و نیتروژن نمونه در دمای $1300^{\circ}C$	۳-۵

۱۱۷	میزان احیای نهایی رتیل با مخلوط گازی ۵٪ متان، ۷۵٪ هیدروژن و ۲۰٪ آرگون در دماهای مختلف	جدول ۴-۵
۱۱۹	میزان احیاء و نیتریداسیون نهایی رتیل با مخلوط گازی ۵٪ متان، ۷۵٪ هیدروژن و ۲۰٪ نیتروژن در دماهای مختلف	جدول ۵-۵
۱۳۱	نتایج ثابت‌های سرعت واکنش احیای TiO_2 با متان	جدول ۶-۵
۱۳۴	نتایج محاسبات D_{eA} و D_{AP} برای قرص‌های کروی با شعاع تقریبی $R = 0.52\text{ cm}$	جدول ۷-۵

فهرست اشکال

صفحه	عنوان	شماره شکل
۶	انرژی گیبس آزاد واکنش (۵) بر حسب دما برای اکسیدهای فلزی مختلف	شکل ۱
۶	چرخه ترموشیمیایی تولید گاز سنتز و هیدروژن توسط احیای اکسید آهن با متان	شکل ۲
۷	چرخه ترموشیمیایی تولید گاز سنتز و هیدروژن توسط احیای اکسید روی با متان	شکل ۳
۱۱	شماتیک واکنش گرمایشی یک قرص منفرد با واکنش گر گازی	شکل ۱-۱
۱۲	شماتیک مدل هسته ترکیب نشده کوچک شونده	شکل ۲-۱
۱۳	شماتیک مدل واکنش حجمی	شکل ۳-۱
۱۳	شماتیک مدل دانهای	شکل ۴-۱
۱۴	شماتیک مدل حفره منفرد	شکل ۵-۱
۱۵	مراحل مدل هسته زائی	شکل ۶-۱
۱۷	شماتیک هندسه‌ای متفاوت قرص	شکل ۷-۱
۲۷	مسیر تولید ترکیبات مختلف باریم از باریت با استفاده از فرآیند Black Ash	شکل ۱-۲
۳۷	فلودیاگرام سیستم آزمایشگاهی استفاده شده (دانشگاه امیرکبیر)	شکل ۲-۲
۳۸	منحنی ترمومتری تجزیه اکسالات کلسیم	شکل ۳-۲
۳۸	منحنی ترمومتری افتادن بلور نمک طعام جهت کالibrاسیون دمایی	شکل ۴-۲
۳۹	منحنی ترمومتری تغییر خاصیت نمونه (<i>Trafoperm</i>) جهت کالibrاسیون دمایی	شکل ۵-۲
۳۹	الگوی XRD سولفات باریم خالص استفاده شده	شکل ۶-۲
۴۰	عکس SEM سولفات باریم ($BaSO_4$)	شکل ۷-۲
۴۰	عکس SEM اکسید روی (ZnO) با بزرگنمایی حدود ۱۶۰۰۰	شکل ۸-۲
۴۱	مشخصات و آنالیز گازهای مورد استفاده	شکل ۹-۲
۴۳	منحنی ترمومتری رفتار سولفات باریم تحت گاز خنثی و دمای ۱۰۰۰ درجه سانتی گراد	شکل ۱۰-۲
۴۳	منحنی ترمومتری رفتار سولفات باریم خالص در دمای ۱۰۰۰ درجه سانتی گراد	شکل ۱۱-۲

۴۴	منحنی های <i>MS</i> آزمایش احیاء سولفات باریم خالص در دمای ۱۰۰۰ درجه سانتی گراد	شکل ۱۲-۲
۴۵	منحنی های ترموگراویمتری رفتار سولفات باریم در دمای ۹۵۰ درجه سانتی گراد و با غلظتها مختلط اکسید روی بعنوان کاتالیست واکنش	شکل ۱۳-۲
۴۶	منحنی های ترموگراویمتری رفتار سولفات باریم در دمای ۹۷۵ درجه سانتی گراد و با غلظتها مختلط اکسید روی بعنوان کاتالیست واکنش	شکل ۱۴-۲
۴۶	الگوی <i>XRD</i> احیای سولفات باریم در دمای ۹۵۰ درجه سانتی گراد و با ۲ درصد اکسید روی بعنوان کاتالیست واکنش	شکل ۱۵-۲
۴۷	- منحنی های درصد تبدیل - زمان احیای سولفات باریم در دمای ۹۰۰ درجه سانتی گراد و با درصد های مختلف اکسید روی بعنوان کاتالیست واکنش	شکل ۱۶-۲
۴۸	منحنی های درصد تبدیل - زمان احیای سولفات باریم در دمای ۹۲۵ درجه سانتی گراد و با درصد های مختلف اکسید روی بعنوان کاتالیست واکنش	شکل ۱۷-۲
۴۸	منحنی های درصد تبدیل - زمان احیای سولفات باریم در دمای ۹۵۰ درجه سانتی گراد و با درصد های مختلف اکسید روی بعنوان کاتالیست واکنش	شکل ۱۸-۲
۴۹	منحنی های درصد تبدیل - زمان احیای سولفات باریم در دمای ۹۷۵ درجه سانتی گراد و با درصد های مختلف اکسید روی بعنوان کاتالیست واکنش	شکل ۱۹-۲
۵۱	شماتیک مدل دانه ای ساده برای یک قرص صفحه ای	شکل ۲۰-۲
۵۲	بررسی تابعیت غلظتی احیاء سولفات باریم با متان	شکل ۲۱-۲
۵۶	رسم تابع $F(k)$ بر حسب k برای دمای ۹۰۰ درجه سانتی گراد در حالت بدون کاتالیست	شکل ۲۲-۲
۵۸	رسم منحنی های آرنیوس برای ثابت سرعت در حالات مختلف	شکل ۲۳-۲
۶۱	مقایسه نتایج مدل دانه ای (خطوط) با نتایج آزمایشگاهی (علام) در دماهای مختلف برای حالت بدون کاتالیست.	شکل ۲۴-۲
۶۱	مقایسه نتایج مدل دانه ای (خطوط) با نتایج آزمایشگاهی (علام) در دماهای مختلف برای حالت ۱ درصد کاتالیست	شکل ۲۵-۲
۶۲	مقایسه نتایج مدل دانه ای (خطوط) با نتایج آزمایشگاهی (علام) در دماهای مختلف برای حالت ۲ درصد کاتالیست	شکل ۲۶-۲

۶۹	منحنی MS آزمایش احیاء قرص متخلخل سلسیتی در دمای ۱۰۰۰ درجه سانتی گراد	شکل ۱-۳
۷۰	منحنی ترموگراویمتری آزمایش احیاء سلسیتی در دمای ۱۰۰۰ درجه سانتی گراد با گاز متان	شکل ۲-۳
۷۲	منحنی های درصد تبدیل احیای سلسیتی با متان در دماهای مختلف	شکل ۳-۳
۷۳	منحنی آرنیوس احیای سلسیتی با متان	شکل ۴-۳
۷۵	مقایسه نتایج آزمایشگاهی با نتایج مدل سازی در دماهای مختلف	شکل ۵-۳
۸۲	احیای اکسید نیکل با کربن در دماهای مختلف	شکل ۱-۴
۸۳	مقایسه میزان گازهای CO_2 و CO آزاد شده در احیای اکسید نیکل با کربن	شکل ۲-۴
۸۵	عکس های SEM اکسید نیکل (NiO) تهیه شده از تجزیه حرارتی نیترات نیکل	شکل ۳-۴
۸۷	منحنی های ترموگراویمتری احیای هدمهای اکسید نیکل با گاز متان در دماهای مختلف ($CH_4\% = ۲۰$)	شکل ۴-۴
۸۸	منحنی های درصد تبدیل - زمان احیای هدمهای اکسید نیکل با متان در دماهای مختلف	شکل ۵-۴
۸۹	منحنی های درصد تبدیل با زمان برای غلظتهای مختلف متان در دمای ۶۵۰ درجه سانتی گراد	شکل ۶-۴
۹۰	بررسی تابعیت غلظتی احیای اکسید نیکل با متان	شکل ۷-۴
۹۲	منحنی آرنیوس cm/sec ، $k = -32156(1/T) + 24.45$ بر حسب	شکل ۸-۴
۹۳	وابستگی زمان شروع (<i>Induction time period</i>) به دمای واکنش	شکل ۹-۴
۹۶	منحنی های مدل Prout Tompkins در دماهای مختلف برای احیای اکسید نیکل با متان	شکل ۱۰-۴
۹۸	منحنی آرنیوس $1/min$ ، $k_{app} = -15520(1/T) + 15.6$ بر حسب	شکل ۱۱-۴
۱۰۱	فلودیاگرام احیای تتراکلرید تیتانیم به تیتانیم اسفنجی با فرآیند کرول (احیاء با منیزیم)	شکل ۱-۵
۱۰۵	شمایتیک راکتور آزمایشگاهی	شکل ۲-۵
۱۰۵	لوله واکنش به همراه ورودی و خروجی های گاز	شکل ۳-۵

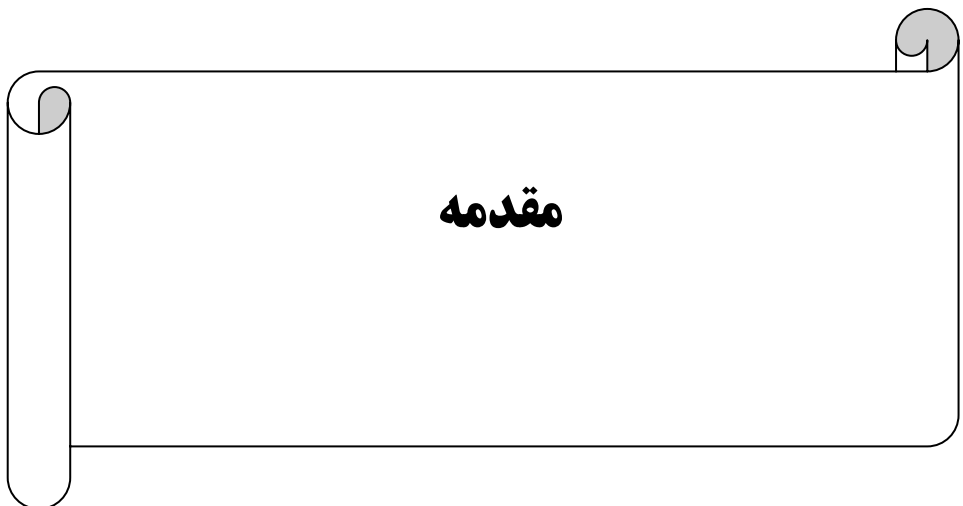
۱۰۶	شمايی از لوله داخلی راكتور	شکل ۴-۵
۱۰۶	شمايی از دستگاه آناليز کننده نقطه شبنم	شکل ۵-۵
۱۰۷	دستگاه کالibrه کننده دبی های حجمی گاز	شکل ۶-۵
۱۰۸	دستگاه آناليز کننده گاز	شکل ۷-۵
۱۰۸	شماتيك سيسitem آزمایشگاهی مورد استفاده در UNSW	شکل ۸-۵
۱۰۹	منحنی های کالibrاسيون گازهای مختلف مورد استفاده بر حسب دبی های حجمی	شکل ۹-۵
۱۱۳	منحنی های احياء و نیتریداسیون ایزوترمال TiO_2 در دمای $1300^{\circ}C$ برای غلطتهاي متفاوت گاز متان	شکل ۱۰-۵
۱۱۵	الگوهای XRD احياء و نیتریداسیون دی اکسیدتیتانیم (TiO_2) در دمای $1300^{\circ}C$ و در غلطتهاي مختلف متان برای مدت زمان ۳۰۰ دقیقه	شکل ۱۱-۵
۱۱۶	منحنی های احياء ایزوترمال TiO_2 در دمای $1300^{\circ}C$ برای سرعتهاي مختلف چريان در غلطت گاز ثابت ۵٪ متان، ۷۵٪ هيدروژن و ۲۰٪ نيتروژن	شکل ۱۲-۵
۱۱۶	منحنی های احياء ایزوترمال دی اکسیدتیتانیم در فاصله دمایی ۱۱۵۰-۱۴۵۰ درجه سانتي گراد و در غلطت گاز ثابت ۵٪ متان، ۷۵٪ هيدروژن و ۲۰٪ آرگون	شکل ۱۳-۵
۱۱۸	الگوهای XRD احياء دی اکسیدتیتانیم (TiO_2) در فاصله دمایی $1150^{\circ}C$ تا $1450^{\circ}C$ با غلطت ثابت گاز $75\%H_2$, $5\%CH_4$ و $20\%Ar$	شکل ۱۴-۵
۱۲۱	منحنی های احياء و نیتریداسیون ایزوترمال دی اکسیدتیتانیم در فاصله دمایی ۱۱۵۰-۱۵۰۰ درجه سانتي گراد و در غلطت گاز ثابت ۵٪ متان، ۷۵٪ هيدروژن و ۲۰٪ نيتروژن	شکل ۱۵-۵
۱۲۱	منحنی های نیتریداسیون ایزوترمال دی اکسیدتیتانیم در فاصله دمایی ۱۱۵۰-۱۵۰۰ درجه سانتي گراد و در غلطت گاز ثابت ۵٪ متان، ۷۵٪ هيدروژن و ۲۰٪ نيتروژن	شکل ۱۶-۵
۱۲۲	الگوهای XRD احياء و نیتریداسیون همزمان دی اکسیدتیتانیم (TiO_2) در دمای $1300^{\circ}C$ و در زمانهای مختلف با غلطت گاز ثابت $75\%H_2$, $5\%CH_4$ و $20\%N_2$	شکل ۱۷-۵
۱۲۳	الگوهای XRD احياء و نیتریداسیون همزمان دی اکسیدتیتانیم (TiO_2) در دمای $1350^{\circ}C$ و در زمانهای مختلف با غلطت ثابت $75\%H_2$, $5\%CH_4$ و $20\%N_2$	شکل ۱۸-۵
۱۲۴	الگوهای XRD احياء و نیتریداسیون همزمان دی اکسیدتیتانیم (TiO_2) در دمای $1400^{\circ}C$ و در زمانهای مختلف با غلطت ثابت $75\%H_2$, $5\%CH_4$ و $20\%N_2$	شکل ۱۹-۵

۱۲۵	الگوهای XRD احیاء و نیتریداسیون همزمان دیاکسیدتیتانیم (TiO_2) در دمای C° ۱۴۵۰ و در زمانهای مختلف با غلطت ثابت $20\%N_2$, $5\%CH_4$, $75\%H_2$ و	شکل ۲۰-۵
۱۲۶	الگوهای XRD احیاء و نیتریداسیون دیاکسیدتیتانیم (TiO_2) در فاصله دمایی C° ۱۱۵۰ تا ۱۵۰۰ و با غلطت ثابت $20\%N_2$, $5\%CH_4$, $75\%H_2$ و	شکل ۲۱-۵
۱۲۷	عکسهای SEM از قرص محصول برش داده شده در دمای C° ۱۳۰۰ پس از ۳۰۰ دقیقه	شکل ۲۲-۵
۱۲۷	عکسهای SEM از قرص محصول برش داده شده در دمای C° ۱۴۰۰ پس از ۱۸۰ دقیقه	شکل ۲۳-۵
۱۲۸	عکسهای SEM از قرص محصول برش داده شده در دمای C° ۱۵۰۰ پس از ۱۲۰ دقیقه	شکل ۲۴-۵
۱۲۹	نتایج آزمایشهای سیستیکی انجام شده با قرصهای سینتر شده کوچک (با قطر تقریبی ۰/۵ میلی‌متر)	شکل ۲۵-۵
۱۳۱	منحنی آرنیوس احیای دیاکسیدتیتانیم (TiO_2) به TiC با گاز متان	شکل ۲۶-۵
۱۳۵	مقایسه نتایج آزمایشگاهی احیای TiO_2 با نتایج مدل‌سازی در دماهای مختلف	شکل ۲۷-۵

چکیده

کلمات کلیدی: مدل‌سازی، سیتیک، کاتالیست، مواد معدنی، متان در این رساله، واکنش شیمیایی بین گاز متان و ترکیبات سولفات‌باریم، سولفات استرونسیم، اکسید نیکل و دی‌اکسید تیتانیم مورد مطالعه قرار گرفته است. کارهای آزمایشگاهی و محاسبات ترمودینامیکی نشان می‌دهند که سولفات‌باریم ($BaSO_4$) در واکنش شیمیایی با گاز متان به سولفید‌باریم (BaS) احیاء می‌گردد که این ترکیب خوراک اصلی در تولید تمام ترکیبات مربوط به باریم می‌باشد. همچنین مشخص گردید که در این مورد اکسید روی اثر کاتالیستی قبل ملاحظه‌ای بر واکنش دارد برای مثال در دمای ۹۵۰ درجه سانتی‌گراد اضافه کردن ۲ درصد اکسید روی سرعت واکنش را بیش از ۸/۵ برابر زیاد می‌کند؛ با کاربرد کاتالیست اکسید روی دمای واکنش احیاء با متان در حدود $200^{\circ}C$ نسبت به روش احیاء با کک (روش *Black ash*) کاهش می‌یابد. همچنین در واکنش شیمیایی بین گاز متان و سلسیتیت (سولفات استرونسیم ($SrSO_4$)), محصول جامد سولفید استرونسیم (SrS) می‌باشد که این ترکیب نیز خوراک اصلی در تولید تمام ترکیبات وابسته به استرونسیم می‌باشد. با کاربرد متان دمای واکنش احیاء ترکیب سلسیتیت حدود $300^{\circ}C$ نسبت به روش معمول *Black ash* کاهش می‌یابد. همچنین محصول واکنش بین گاز متان و اکسید نیکل (NiO), نیکل فلزی است. دمای واکنش احیاء اکسید نیکل با متان، در حدود $350^{\circ}C$ کمتر از روش احیاء با کک می‌باشد. واکنش شیمیایی بین گاز متان و هیدروژن و دی‌اکسید تیتانیم (رتیل) (TiO_2) سبب تولید کاربید تیتانیم (TiC) گردیده در صورتیکه واکنش شیمیایی بین گاز متان، هیدروژن و نیتروژن سبب تولید نیترید تیتانیم (TiN) می‌گردد؛ در واکنش احیاء و نیتریداسیون دی‌اکسید تیتانیم نقش اصلی و خیلی مهم هیدروژن جلوگیری از شکست حرارتی متان و نشست کربن روی سطح اکسیدی در دماهای بالا می‌باشد.

به کمک روش‌های ترموگراویمتری و آنالیز گازی کلیه پارامترهای سیتیکی واکنش‌ها محاسبه شدند و با کاربرد مدل‌های مناسب مربوطه، نتایج آزمایشگاهی مورد تجزیه-تحلیل قرار گرفت. مدل‌سازی ریاضی واکنشها توافق خوبی را بین داده‌های آزمایشگاهی و نتایج مدل نشان دادند.



مقدمة

اکثر فلزات در طبیعت بصورت آزاد وجود ندارند بلکه بصورت ترکیباتی مانند اکسیدها، سولفیدها، سولفاتها، کربناتها و ... یافت می‌شوند. بنابراین می‌بایست بر روی معادن مورد نظر فرآیندهای آماده سازی نظیر تغليظ(پر عیارسازی)، تکلیس، تشویه و در نهایت احیاء جهت بدست آوردن ترکیب مناسب انجام گیرد. احیاء ترکیبات فلزی به چند روش انجام می‌گیرد:

الف- احیاء به روش هیدرومالتالورژی که در این نوع فرآیندها با استفاده از حلالهای مختلف فلز مورد نظر را از کانی آن جدا نموده و در نهایت با روش الکترولیز (روش الکترومالتالورژیکی) آنرا احیاء می‌کنند این روش، فرآیندی چند مرحله‌ای و پر دردسر بوده و انرژی خیلی زیادی را مصرف می‌نماید و از نظر اقتصادی نیز گران بوده ولی محصولات خالص‌تری را تولید می‌نماید.

ب- احیاء با کک (روش پیرومالتالورژیکی) که یک روش بسیار مرسوم بوده و انرژی کمتری را نسبت به روش هیدرومالتالورژی مصرف می‌کند بنابراین نسبت به آن ارزان می‌باشد. واکنش اولیه احیاء اکسیدهای فلزی با کربن به فرم عمومی زیر نوشته می‌شود[۱]:



که دو واکنش‌گر جامد در تماس خیلی نزدیکی با هم قرار دارند. مونواکسیدکربن تولید شده در واکنش فوق در جامد نفوذ کرده و با اکسید فلزی بصورت زیر واکنش می‌دهد:



دی اکسیدکربن تولید شده در واکنش فوق با کک موجود در جامد طبق واکنش (۳) ترکیب شده و مونواکسیدکربن زیادتری را تولید می‌نماید که البته در فرآیندهای پیرومالتالورژی این گاز عامل اصلی احیاء‌کننده می‌باشد:



احیای ترکیبات معدنی با کک، بدلیل تولید گازهای آلیندهای نظیر SO_x ، CO و مقدار زیادی دی اکسیدکربن با محیط زیست سازگار نبوده و صدمات جبران ناپذیری را بر آن وارد می‌نماید. بدین خاطر در صورتی که بتوان از یک آلترناتیو دیگری به نحوی بهره جست که کمترین زیان را متوجه محیط زیست نموده و گازهای گلخانه‌ای کمتری را تولید نماید این روش بسیار مفید خواهد بود. گاز طبیعی که جزء اصلی آن متان می‌باشد جانشین خیلی مناسبی بجای کک در فرآیندهای پیرومالتالورژی محسوب می‌شود. در واحدهای صنعتی که از متان برای احیای ترکیبات استفاده می‌شود معمولاً ابتدا آنرا در

دستگاه تبدیل کننده^۱ بصورت واکنش زیر در مجاورت کاتالیست نیکل بر روی آلومینا و دمای حدود ۸۰۰ درجه سانتی گراد به گاز سنتز تبدیل می‌کنند [۴-۲] :



سپس از گاز سنتز برای احیای ترکیبات معدنی استفاده می‌کنند که از جمله این فرآیندها می‌توان به فرآیند *Midrex* در احیای مستقیم اکسید آهن اشاره کرد. گاز سنتز همچنین می‌تواند در تولید بسیاری از ترکیبات پتروشیمی مانند متانول، اسید استیک، اتیلن گلیکول، آمونیاک، هیدروژن و ... بصورت مستقیم مورد استفاده قرار می‌گیرد.

در سالهای اخیر توجه خیلی زیادی به موضوع گرم شدن زمین^۲ شده است که علت گرم شدن زمین تولید گازهای گلخانه‌ای می‌باشد و این معضل به مهمترین موضوع عصر حاضر تبدیل شده است. تلاشهای زیادی برای ممانعت از گرم شدن زمین انجام می‌شود که از آن جمله می‌توان به پروتوكل کیوتو^۳ اشاره کرد که یک معاهده بین‌المللی بوده و نزدیک به ۱۸۰ کشور جهان تا بحال آنرا امضاء کرده‌اند تا در جهت کاهش گازهای گلخانه‌ای و در نتیجه کاهش اثر گرم شدن زمین تلاش کنند [۵].

قریب به ۸۰ درصد از گازهای گلخانه‌ای را دی‌اکسیدکربن تشکیل می‌دهد [۶]. بنابراین در سالهای اخیر تلاش می‌شود تا حد امکان فرآیندهایی را که دی‌اکسیدکربن بیشتری تولید می‌نمایند کنار گذاشته شوند، در حال حاضر صنایع تولید و فرآوری فلزات که از کک به عنوان احیاء کننده استفاده می‌کنند از منابع عمدۀ این گاز گلخانه‌ای به شمار می‌آیند. بهمین دلیل کاهش گازهای گلخانه‌ای ناشی از متالورژی استخراجی از اهمیت بالایی برخوردار است. شاید به این دلیل باشد که استفاده از گاز طبیعی در این صنایع در احیای اکسیدهای فلزی اخیراً بسیار مورد توجه قرار گرفته است. استفاده از متان بجای کک برای احیای ترکیبات معدنی، دی‌اکسیدکربن کمتری تولید می‌نماید و آلودگی‌های دیگری که در روش احیاء با کک وجود دارد در این روش کمتر است. واکنش احیای اکسیدهای فلزی با متان در حالت کلی بصورت زیر می‌باشد [۷] :



مطالعات ترمودینامیکی نشان می‌دهد که گاز متان در احیای اکسیدهای فلزی قابلیت احیاء کننده‌گی بالاتری نسبت به کک دارد [۸]. جدول (۱) دماهای شروع (ترمودینامیکی) واکنش احیاء با کک و متان را برای چند اکسید فلزی نشان می‌دهد همان‌طور که ملاحظه می‌گردد گاز متان می‌تواند دمای عملیاتی را

^۱ -Catalytic reformer

^۲ -Global warming

^۳ -Kyoto Protocol

به مقدار قابل ملاحظه‌ای کاهش دهد که مؤید این است که این روش از نظر مصرف انرژی نیز روش اقتصادی‌تری می‌باشد.

نمودارهای تغییرات انرژی آزاد استاندارد گیبس واکنش متان با اکسیدهای فلزی مختلف (طبق واکنش (۵)) در شکل (۱) نشان داده شده است. استفاده مستقیم از متان در احیای ترکیبات معدنی در سالهای اخیر مورد توجه قرار گرفته است. از این روش برای احیای اکسید آهن [۹-۱۵]، احیای اکسید روی [۱۶-۲۰]، احیای مخلوط اکسید روی- اکسید سرب [۲۱ و ۲۲]، اکسید کبالت [۲۳] و اکسید منگنز [۲۴] استفاده شده است.

استفاده از گاز طبیعی در فرآیندهای فرآوری معدن، در ایران نیز که دارای مقام دوم جهان از لحاظ ذخایر گاز طبیعی می‌باشد از اهمیت ویژه‌ای برخوردار است چون علاوه بر کاهش هزینه‌های عملیاتی در اکثر موقعیت‌ها باعث تولید گاز سنتز می‌گردد که این گاز می‌تواند یا بعنوان خوراک واحدهای پتروشیمی به مصرف برسد یا در کارخانجات تولید آهن اسفنجی بعنوان عامل احیاء کننده بکار رود.

جدول ۱- دمای شروع واکنش احیای اکسیدهای فلزی با متان و کربن

احیاء با کک (بر حسب کلوین)	احیاء با متان (بر حسب کلوین)	اکسید فلز
۹۲۰	۸۹۰	Fe_2O_3
۱۲۲۰	۱۱۱۰	ZnO
۲۰۴۰	۱۵۷۰	TiO_2
۲۳۲۰	۱۷۷۰	Al_2O_3
۱۶۷۵	۱۳۳۷	MnO
۲۱۳۰	۱۷۷۰	MgO
۱۵۴۰	۱۲۵۶	Cr_2O_3
۲۴۴۰	۱۹۷۰	CaO
۱۹۵۰	۱۵۲۰	SiO_2